

УДК 538.9; 539.2

**ПРИМЕНЕНИЕ МЕЖАТОМНЫХ ПОТЕНЦИАЛОВ,
ПОЛУЧЕННЫХ ИЗ МОДЕЛЬНЫХ ПСЕВДОПОТЕНЦИАЛОВ,
ДЛЯ МОДЕЛИРОВАНИЯ ТОЧЕЧНЫХ ДЕФЕКТОВ
И РАДИАЦИОННЫХ ЭФФЕКТОВ В Cu, Fe, Ni, Ti и Zr**

*B. Г. Вакс, В. Г. Капинос, Ю. Н. Осецкий, Г. Д. Самолюк,
A. B. Трефилов*

Обсуждаются использование для моделирования дефектов решетки в переходных металлах межатомных потенциалов $\varphi(r)$, полученных во втором порядке по псевдопотенциальному электрон-ионному взаимодействию V . Предложены соответствующие подгоночные V для α -Fe, Ti, Zr, Cu и Ni. Сравнение с опытом расчетов структурных, упругих и фононных свойств, а также характеристики вакансий указывает на возможность использования этих V и $\varphi(r)$ в моделировании, хотя для Cu и Ni предпочтительнее, видимо, использовать «первоначальные» V и φ Дажана и др. Предложены методы учета дальнодействия при моделировании с «псевдопотенциальными» $\varphi(r)$. Применение этих дальнодействующих $\varphi(r)$ к моделированию структуры и кинетики образования вакансионных кластеров позволило объяснить ряд экспериментальных фактов, не имевших объяснения в моделях с эмпирическими короткодействующими потенциалами.

Моделирование на ЭВМ является сейчас одним из основных методов теоретического изучения дефектов решетки в задачах прикладного материаловедения. При этом межатомные взаимодействия описываются парными потенциалами $\varphi(r)$, и выбор адекватных $\varphi(r)$ является одной из основных проблем в данной области. Обычно в работах по моделированию используются эмпирические короткодействующие потенциалы (ЭКП) [1, 2], что позволяет рассматривать достаточно большие системы атомов за разумные времена работы ЭВМ. Однако исследования более сложных и актуальных задач физики дефектов, например о механизмах их зарождения, взаимодействиях, о кинетике отжига и др., указали на существенную чувствительность результатов к виду $\varphi(r)$ [3–8], т. е. на важность использования более реалистических потенциалов.

При микроскопических подходах сама возможность представить энергию металла в виде суммы парных потенциалов $\varphi(r)$ показана только в теории возмущений по псевдопотенциальному электрон-ионному взаимодействию V , которая применима в основном для простых металлов, прежде всего щелочных (см. например, [9, 10]). Методы построения относительно слабых V для благородных и щелочноземельных металлов предложены в работах [11–13]. При этом применение $\varphi(r)$ из [12] к моделированию точечных дефектов в Cu и Ag дало хорошее совпадение с опытом для энергий образования и миграции вакансий и межузельных атомов E_{1s}^f , E_{1s}^m , E_i^f и E_i^m . Имеющиеся попытки построения парных $\varphi(r)$ для переходных металлов (представляющих наибольший интерес для приложений) также используют модельные псевдопотенциалы [4, 14, 15], хотя точность применения низшего приближения по V здесь не слишком ясна. При этом в форме, удобной для использования, представлены только $\varphi(r)$ для Ni [4] и моделирование с этими $\varphi(r)$ дало удовлетворительное согласие с опытом для $E_{1s}^{f,m}$ и $E_i^{f,m}$ в Ni.

Таким образом, неэмпирические $\varphi(r)$ строятся пока на основе тех или иных модельных псевдопотенциалов. В отличие от ЭКП эти $\varphi(r)$ являются дальнодействующими. Как обсуждается в [3-8] и ниже, в ряде случаев моделирование с использованием «псевдопотенциальных» дальнодействующих потенциалов (ПДП) приводит к существенно иным результатам, чем для ЭКП, и лучше согласуется с опытом. В связи с этим возникают следующие задачи: а) построение хотя бы более или менее реалистических ПДП для практически важных металлов, таких как Fe, Ti и Zr, для которых пока в моделировании использовались только ЭКП; б) разработка методических рекомендаций по преодолению трудностей учета дальнодействия в моделировании с ПДП; в) обсуждение накопленного опыта и новых качественных результатов, полученных при моделировании с ПДП. Этим вопросам и посвящена настоящая работа.

Таблица 1
Используемые значения параметров в формуле (1)

Металл	Ω , а. е.	z	r_0 , а. е.	U	ξ
Fe	79.5	1.95	0.70	2.07	0.45
Ni	73.9	1.50	0.65	2.77	0.20
Cu	79.7	[19]	1.50	0.65	3.3
Ti	134.6	2	1.37	0.04	0.15
Zr	157.1	2	1.64	-0.13	0.15
Mg	154.6 [20]	2	1.667	-0.500	0.15

Первая из названных задач рассматривается в разделе 1. Для ее решения мы используем простую псевдопотенциальную модель, успешно использовавшуюся ранее для щелочных металлов (см. [9, 10] и цитированную там литературу). Она содержит несколько параметров, определяемых из условия подгонки к некоторым наблюдаемым характеристикам, а ее точность проверяется сравнением с опытом ряда вычисленных «атомных» (т. е. структурных, упругих и фононных) свойств металла. Для переходных металлов такая модель груба, но, видимо, более реалистична, чем модели с ЭКП. Для сравнения с результатами для непереходных металлов мы применяем эту модель также к Mg, а для сопоставления с более тщательными рассмотрениями [4, 12] — к Cu и Ni.

В разделе 2 рассмотрены методические вопросы «б». Используя методы, развитые в работах [16, 17], мы даем рекомендации по использованию в моделировании как наших $\varphi(r)$, так и ПДП из работ [4, 12]. В разделе 3 обсуждаются основные новые результаты, полученные при моделировании с ПДП. Рассматриваются вопросы о структуре вакансационных кластеров и об эволюции обедненных зон в радиационных каскадах для Cu, Fe и Ni.

1. Модельные псевдопотенциалы и потенциалы для Fe, Ni, Cu, Ti, Zr и Mg

Фурье-компоненту псевдопотенциала $V(q)$ мы берем в том же виде, что в [9]

$$V(q) = \frac{-4\pi z e^2}{\Omega q^2} \left[\cos qr_0 + V \left(\frac{\sin qr_0}{qr_0} - \cos qr_0 \right) \right] \exp(-\xi q^4/16k_F^4). \quad (1)$$

Здесь ze — заряд иона, Ω — атомный объем, $k_F = (3\pi^2 z/\Omega)^{1/3}$ — импульс Ферми. Для переходных металлов d -электроны предполагаются включенными в ионный остов, а возможность их перехода в зону проводимости учитывается выбором эффективной валентности z , являющейся дополнительным параметром модели. Из табл. 1 видно, однако, что наши z близки

к «естественным» значениям 2 или 1.5, получающимся в «первоначальных» оценках [4, 13]. Потенциалы рассчитываются по обычным формулам

$$\varphi(r) = \frac{z^2 e^2}{r} - \frac{\Omega}{\pi^2 r} \int_0^\infty dq q F(q) \sin qr,$$

$$F(q) = \frac{1}{8\pi e^2} \Omega q^2 V^2(q) \left[\frac{1}{\epsilon(q)} - 1 \right], \quad (2)$$

где $\epsilon(q)$ — диэлектрическая функция, вычисляемая, как и в [9], в приближении Гельдартса—Тейлора. Параметры r_0 , U и ξ в (1) определяются из подгонки под наблюдаемый равновесный объем (т. е. из условия $p(\Omega)=0$), под фононные спектры в среднем и под модуль сдвига c_{44} или модуль сжатия B . При этом мы ориентируемся на «динамическое» значение $B=B_{dyn}$, которое вычисляется методом длинных волн без учета зависимости $\varphi(r)$ от плотности (и в рассматриваемом втором порядке по V отличается от «статического» $B=B_{st}$, вычисляемого дифференцированием энергии по объему [18]), поскольку при моделировании зависимость $\varphi(r)$ от плотности не учитывается.

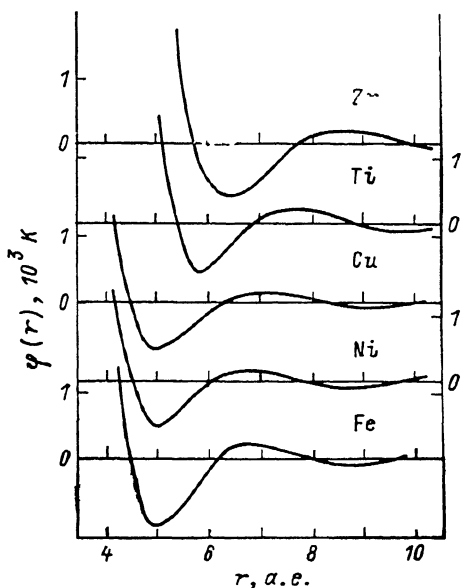


Рис. 1. Потенциалы $\varphi(r)$, вычисленные по формулам (1) и (2) при значениях параметров, указанных в табл. 1.

Используемые значения z , r_0 , U , ξ в (1) и соответствующие $\varphi(r)$ приводятся в табл. 1. и на рис. 1; вычисленные фононные спектры и упругие модули B_{ik} сравниваются с экспериментом на рис. 2 и в табл. 2. Связь между B_{ik} и обычными модулями c_{ik} указана, например, в [28]; в частно-

Таблица 2

Упругие модули B_{ik} (в ГПа) в твердой фазе и значения максимума структурного фактора S_{max} и параметра упаковки η в жидкой фазе вблизи плавления

Металл	B_{st}	B_{dyn}	B_{44}	B_{33}	B_{11}	B_{12}^{st}	B_{12}^{dyn}	S_{max}	η
Fe (ОЦК)	101 168	164 118	141 49	10				3.26 3-3.4*	0.51
Ni (ГЦК)	61 186	160 125	120 50	8.2				3.18 2.6-2.8*	0.49
Cu (ГЦК)	58 139	125 76	97 24	9.3				3.13	0.48
Ti (ГПУ)	58 104	129 47	47 39	83	3.7 -0.7	-0.7	3.44	0.48	
Zn (ГПУ)	44 95	87 32	32 35	59 64	2.1 3.1	-0.7	3.59	0.50	
Mg (ГПУ)	34 31.5	49 18.4	18.4 19.5	23.8 35.6	36.9 -0.11	1.2 -0.23		0.50	

Примечание. Верхняя цифра — расчет; нижняя — эксперимент, B_{ik} — [21], η — [22].

сти, для кубических структур $B_{33}=c'=1/2(c_{11}-c_{12})$, $B_{44}=c_{44}$. В табл. 2 указаны также характеристики структуры жидкого металла вблизи точки плавления T_m : максимальное значение S_{\max} структурного фактора, вычисленного для $\Omega=\Omega_m=\Omega(T_m)$ в приближении Перкусса—Иевика [9], и параметр упаковки $\eta=\pi d_{BH}^3/6\Omega_m$, где d_{BH} — диаметр отталкивателяного остова потенциала $\varphi(r)$, определенный по Баркеру и Хендersonу [9]. Для большинства изученных жидких металлов вблизи T_m экспериментальные $S_{\max} \sim 3$, а оцененные из них $\eta \sim 0.5$, так что размеры отталкива-

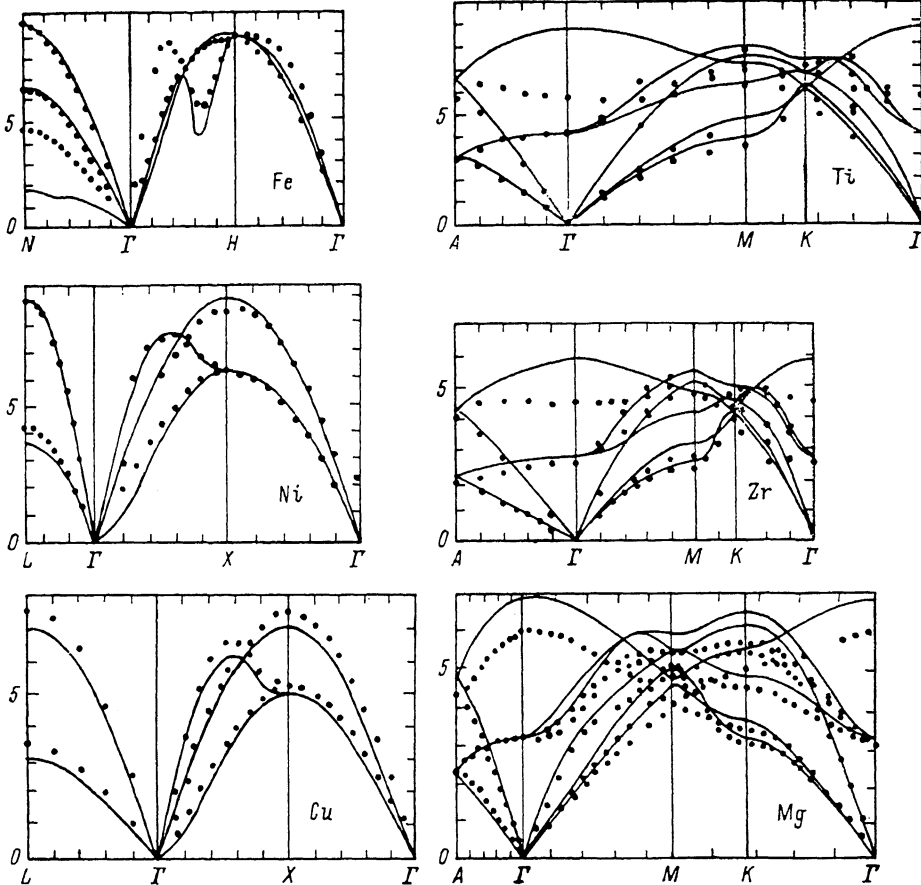


Рис. 2. Фононные спектры рассматриваемых металлов (в ГГц).

Линии — расчет с $\varphi(r)$ рис. 1; точки — эксперимент для α -Fe [3], р. 26.11; Ni [1], р. 28.1; Cu [4]; Ti [2]; Zr [3]; Mg [2].

тельных остовов $\varphi(r)$ в табл. 2 можно считать разумными. Значения энергий образования и миграции вакансий E_1^f и E_{1g}^m указаны в табл. 3.

Обсудим приведенные результаты. Видно, что, во-первых, описание используемой моделью простого металла Mg является, естественно, более точным, чем для переходных металлов; во-вторых, для Fe, Ni и Cu наибольшая погрешность модели состоит в существенном занижении модуля сдвига $c' = B_{33}$. Эта погрешность характерна для всех моделей переходных металлов с локальным псевдопотенциалом, особенно в ОЦК структуре, и обусловлена неучетом зонных эффектов, связанных с d -электронами (судя по результатам работы [29], эти эффекты в ГЦК структурах иногда удается имитировать, добавляя к $\varphi(r)$ феноменологический борн-майеровский потенциал, который может описывать отталкивание d -оболочек [4, 12]). В то же время фононные спектры Ni и Cu (рис. 2) в целом описываются неплохо. Удовлетворительно описываются также фононы в Fe, если не говорить о занижении связанный с модулем B_{33} поперечной фононной

Таблица 3

Рекомендуемые значения параметров обрезания α , R_r и R_e для потенциалов $\varphi(r)$ и значения энергии образования и миграции вакансии E_{1v}^f и E_{1v}^m (в эВ)

Металл	$\varphi(r)$	$\alpha\alpha$	$\frac{R_r}{a}$	$\frac{R_e}{a}$	E_{1v}^f		E_{1v}^m	
					расч.	эксп.	расч.	эксп.
α -Fe	Наст. раб.	0.3	2.41	3.70	0.91	1.1 [32] 1.4—1.5 [33]	0.52	0.6 [33]
Cu	Наст. раб. [12]	0.25 0.25	2.05 2.22	3.74 3.52	1.11 1.42	0.98—1.31 [33]	0.64 0.82	0.6—1.08 [33]
Ni	Наст. раб. [4]	0.2 0.25	2.06 2.86	3.75 2.86	1.37 1.33	1.39 [32] 1.54—1.8 [33]	0.67 0.90	1.2—1.46 [33] 1.08 [33]
Zr	Наст. раб.	0.25	1.95	4.08	1.48	0.8 [34], 1.75 [36], 1.35 [36]	0.97	1.24 [36]
Ti	То же	0.25	1.94	4.08	1.51	1.55 [35], 1.27 [36], 1.68 [37]	1.01	1.16 [36], 0.35 [37]
Mg	» »	0.2	1.92	4.08	0.66	0.58—0.89 [33]	0.53	

ветви ТА₁ (110). В Ti и Zr неплохо описываются как модули, так и фононы, причем в Zr погрешности меньше, чем в Ti. Вычисленные $E_{1v}^{f,m}$ в табл. 3 обычно лежат в пределах разброса экспериментов и подробнее обсуждаются в разделе 2.

Сравним наши $\varphi(r)$ с упомянутыми выше «первопринципными» ПДП. Наиболее надежным из них кажется потенциал Дажана и др. для Cu [11, 12], выведенный с помощью достаточно последовательного разложения по малым параметрам ($s-d$ гибридизации и отношения нерезонансного псев-

Таблица 4

Зависимость вычисленной энергии релаксации вакансии E_v^r (в эВ) для α -Fe от радиусов обрезания R_r и R_e

R_r/a	R_e/a					
	1.118	1.768	2.409	3.055	3.697	4.342
1.118	—0.380	—0.273	—0.201	—0.214	—0.216	—0.229
1.768		—0.306	—0.265	—0.273	—0.274	—0.281
2.404			—0.271	—0.277	—0.277	—0.289
3.055				—0.277	—0.277	—0.289
3.697					—0.277	—0.289
4.342						—0.289

допотенциала к энергии Ферми). Его точность проверена расчетами упругих модулей, фононных спектров и энергий точечных дефектов [12] и оказывается выше, чем для нашего $\varphi(r)$. Для аналогичного $\varphi(r)$ в Ni [4] вывод не столь последователен, а точность описания атомных свойств близка к получающейся с нашим $\varphi(r)$. Но для моделирования дефектов, особенно межузельных атомов, ПДП из [4] кажется более надежным, поскольку в нем учитывается упомянутое отталкивание d -оболочек на малых расстояниях (см. раздел 2). Для Fe, Ti и Zr сколько-нибудь проверенные и удобные для использования «первопринципные» $\varphi(r)$ нам неизвестны, и в моделировании мы использовали наши ПДП.

Сделаем замечание о «переносимости» псевдопотенциалов и потенциалов (1), (2), т. е. о возможности описания ими других кристаллических

структур или сплавов. Для тех металлов, для которых псевдопотенциальная модель второго порядка микроскопически обоснована (щелочных, Mg и т. п.), это свойство является одним из основных и позволяет количественно описывать, например, фазовые переходы между разными структурами (см. [10] и цитированную там литературу). Однако в переходных металлах неучитываемые зонные эффекты, резко зависящие от структуры, приводят к отсутствию переносимости $V(q)$. Так, свойства ОЦК фаз Ti и Zr описываются нашими $V(q)$ много хуже, чем для ГПУ фазы. Поэтому использование приведенных $V(q)$ и $\varphi(r)$ для других структур или сплавов можно рекомендовать только после дополнительной проверки точности или некоторой переподгонки параметров.

2. Методика использования дальнодействующих потенциалов в машинном моделировании

Применение в моделировании ПДП приводит к вычислительным трудностям вследствие их дальнодействующего характера. Возможности современных ЭВМ требуют ограничения радиуса действия R_c потенциала $\varphi(r)$ на расстояниях порядка 2–3 постоянных решетки a , и при моделировании $\varphi(r)$ плавно обрезают на таких R_c . При использовании ПДП R_c выбирают вблизи нулей вычисленного $\varphi(r)$, но для указанных небольших R_c обрезание может приводить к заметным ошибкам, т. е. отличиям результатов от получаемых с исходным $\varphi(r)$. В работе [16] показано, что если заменять ПДП $\varphi(r)$ на эффективное

$$\varphi_{\text{eff}}(r) = \varphi(r) \exp(-\alpha^2 r^2) \Theta(R_c - r), \quad (3)$$

где $\Theta(x)$ — функция, осуществляющая упомянутое плавное обрезание, то при должном выборе достаточно малого параметра α удается существенно уменьшить ошибки, связанные с заменой $\varphi(r)$ на $\varphi_{\text{eff}}(r)$. Следуя [16, 17], ниже мы приведем рекомендации по применению рассматриваемых ПДП в моделировании на примере расчетов энергии образования вакансий E_{10}^f .

Величина $E_{10}^f = E_0^f$ определяется выражением [30]

$$E_0^f - p\Omega_0^f = -\frac{1}{2} \sum_i \varphi(\mathbf{r}_i^0) - \frac{1}{6} \sum_i \left(r \frac{\partial \varphi}{\partial r} \right)_{r=r_i^0} + E_r^f = E_b + W + E_r^f. \quad (4)$$

Здесь p — давление (ниже полагаем $p=0$); Ω_0^f — объем образования вакансии; суммирования происходят по $N-1$ узлам идеальной решетки с координатами $\mathbf{r}_i^0 \neq 0$ относительно вакантного узла в начале координат. Первая сумма в (4) E_b есть структурная составляющая энергии связи, вторая — так называемый виральный член W , а сумму $E_b + W = E_v^{\text{un}}$ называют нерелаксированной энергией образования вакансии. Слагаемое E_r^f есть энергия релаксации, равная разности энергий кристалла до и после релаксации

$$E_r^f = \sum_{i>j}^{N-1} [\varphi(\mathbf{r}_i^0 + \mathbf{s}_i - \mathbf{r}_j^0 - \mathbf{s}_j) - \varphi(\mathbf{r}_i^0 - \mathbf{r}_j^0)], \quad (5)$$

где \mathbf{s}_i — вектор релаксационного смещения атома от узла идеальной решетки \mathbf{r}_i^0 .

Значения параметров α и R_c в (4) будем выбирать из рассмотрения решеточных сумм E_b и W в E_v^{un} . Точные значения этих сумм для $\alpha=0$, $R_c=\infty$ можно находить аналитическими методами, выделяя в $\varphi(r)$ асимптотические вклады при больших r , связанные с фриделевскими осцилляциями, и применяя метод Эвальда [16]. Однако это оказывается достаточно громоздким, и для рассматриваемых ПДП за «точные» E_v^{un} мы принимаем значения, полученные нами при $\alpha=0.05 a^{-1}$ и $R_c=(30-35)a$, что, по нашим оценкам, соответствует погрешности $|\delta E_v^{\text{un}}/E_v^{\text{un}}| \leqslant 1\%$. Для наших

модельных ПДП в ОЦК Fe, ГПУ Zr и ГЦК Ni это дало соответственно $E_{v,\infty}^{\text{up}} = 1.1$, 1.48 и 1.41 эВ.

На рис. 3 мы приводим зависимости $E_v^{\text{up}}(R_c)$ для Fe, Zr и Ni при различных α . Видно, что при $\alpha=0$ E_v^{up} заметно осциллирует с R_c даже при $R_c \geq 15a$. В то же время при $\alpha \neq 0$ хорошая сходимость к $E_v^{\text{up}}(\infty)$ достигается уже при небольших R_c . Так, выбор для Fe, Zr и Ni значений $\alpha a = 0.3$, 0.25 и 0.2 уже при $R_c \approx 4a$ дает E_v^{up} , отличающиеся от указанных выше

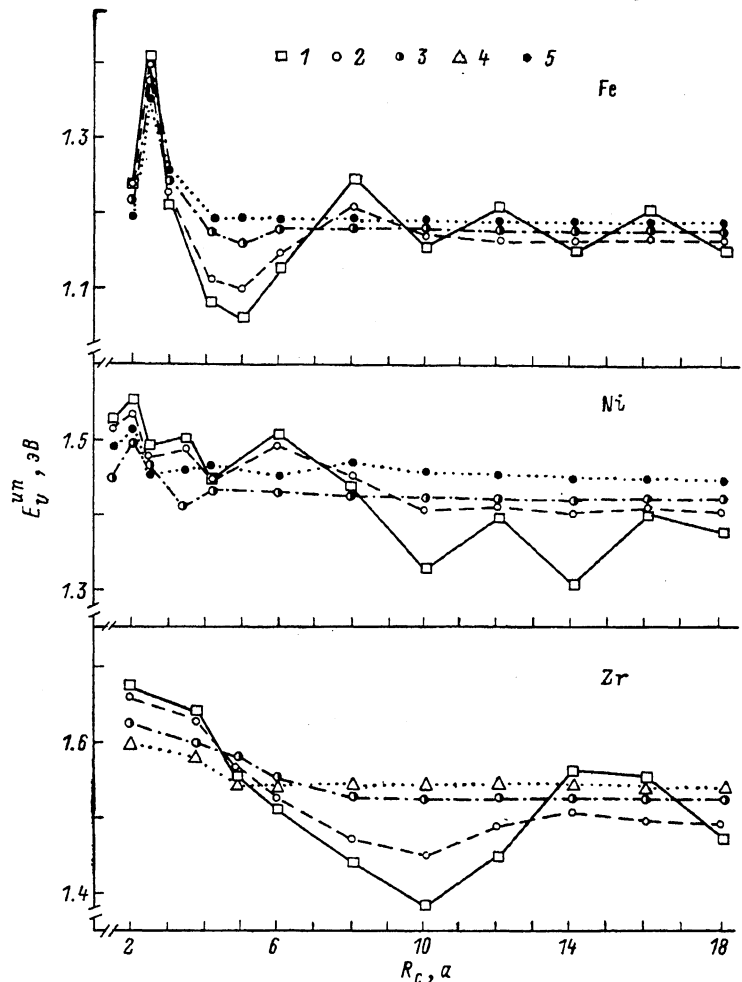


Рис. 3. Зависимость нерелаксированной энергии образования ваканои E_v^{up} от R_c в расчетах с $\varphi(r)$ рис. 1 при различных α в формуле (3).

1 — $\alpha=0$, 2 — $\alpha a=0.1$, 3 — 0.2, 4 — 0.25, 5 — 0.3.

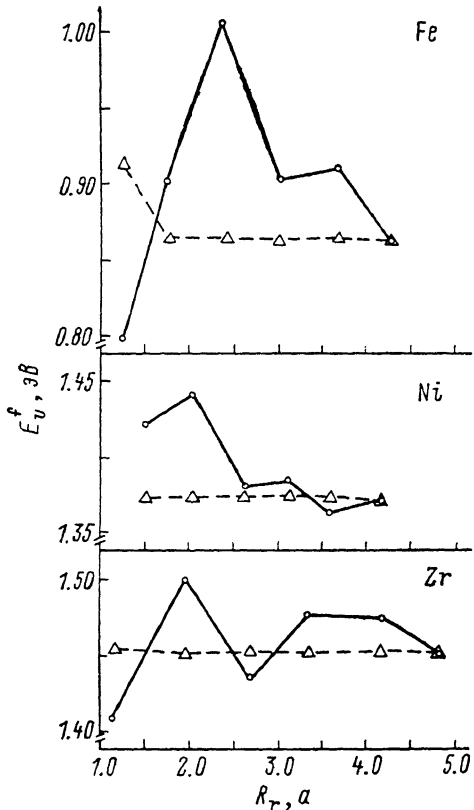
«точных» $E_{v,\infty}^{\text{up}}$ не более чем на 4—5 %. Рекомендуемые по аналогичным критериям αa для всех рассматриваемых ПДП указаны в табл. 3.

Обсудим теперь, как при выбранном α зависит от R_c энергия релаксации E_v^r . Погрешность расчета E_v^r при введении обрезания R_c связана, во-первых, с неполной релаксацией решетки в «обрезанном» потенциале и, во-вторых, с неполным суммированием по r_i^0 в (5). Как показано в [17] и ниже, чувствительность к R_c первой из этих погрешностей много слабее, чем второй. Это позволяет резко упростить расчеты E_v^r . В отличие от традиционной методики, когда релаксация и расчеты энергии проводятся с одним и тем же потенциалом φ_{ef} , при рассмотрении релаксации мы вводим также потенциал φ_r с радиусом обрезания $R_r < R_c$. Дальнодействующий потенциал φ_{ef} применяется только на последнем этапе, при расчетах решеточных сумм в (4) и (5), т. е. используется минимальное число раз.

Это позволяет брать R_c достаточно большим, увеличивая точность вычислений. Выбор же R_r в многократно используемом при релаксации φ , иллюстрируется описываемыми ниже расчетами.

Моделирование проводилось в сферических кристаллах, содержащих для Fe, Zr и Ni соответственно 1152, 1281 и 1092 подвижных атомов. Использовались жесткие граничные условия с толщиной слоя неподвижных атомов, равной радиусу действия потенциала R_c . Для нахождения равновесных положений атомов после удаления центрального применялся метод сопряженных градиентов [31].

В табл. 4 мы приводим результаты расчетов E_v^f для α -Fe при различных R_r и R_c . Горизонтальные строки показывают зависимость $E_v^f(R_c)$



при данном R_r , вертикальные — $E_v^f(R_c)$ при данном R_r . Диагональные элементы этой таблицы соответствуют $E_v^f(R_c)$ для обычной методики с $R_r=R_c$. Видно, что сходимость в столбцах таблицы является очень быстрой: уже при $R_r \approx 1.8$ а $E_v^f(R_c)$ отличается от значения с $R_r=R_c$ менее чем на 3 %, а при $R_r \approx 2.4$ а меньше чем на 0.3 %. Таким образом, релаксация к равновесным конфигурациям действительно определяется короткодействующей частью $\varphi(r)$. В то же время относительно медленная сходимость вдоль диагонали табл. 4 показывает, что погрешность в E_v^f при небольших R_r связана в основном не с «недорелаксацией», а со сравнительно медленным убыванием ПДП в суммах (5).

Рис. 4. Зависимость энергии образования вакансии в расчетах с $\varphi(r)$ рис. 1 от R_r .

Параметры αa , R_c/a для α -Fe взяты равными 0.3, 4.34, для Ni — 0.2, 4.31, для Zr — 0.25, 4.79.

Результаты для Zr и Ni носят тот же характер. Это иллюстрируется на рис. 4, где для наглядности приводится не E_v^f , а полное E_v^f в (4). Сплошные линии соответствуют обычной методике с $R_r=R_c$, т. е. диагонали табл. 4, а штриховые — расчетам с $R_r < R_c$, т. е. столбцам табл. 4. Снова видно, что предлагаемый метод позволяет получать достаточную точность уже при небольших R_r .

В целом наш опыт показывает, что хорошая точность для энергий образования и миграции точечных дефектов и их комплексов при использовании ПДП достигается при $\alpha a = 0.2 \div 0.3$ и значениях R_r , соответствующих обрыву $\varphi_{ef}(r)$ после 2—3 осцилляций. Радиус же R_c включает, как правило, 4—6 осцилляций $\varphi_{ef}(r)$. Рекомендуемые значения a , R_r и R_c для рассматриваемых ПДП указаны в табл. 3. В этой таблице приводятся также результаты расчетов энергий образования и миграции вакансий E_{1v}^f и E_{1v}^m с данными ПДП. Видно, что вычисленные E_{1v}^f неплохо согласуются с имеющимся экспериментом, кроме случая α -Fe, где расчет несколько занижает E_{1v}^f . Энергия миграции E_{1v}^m для Cu и Ni в наших ПДП ниже, чем в потенциалах Дажана [4, 12], и, по-видимому, занижена. Для других металлов вычисленные E_{1v}^m лежат в пределах разброса экспериментов.

Таким образом, результаты, представленные в табл. 2, 3 и на рис. 2, показывают, что как атомные свойства, так и характеристики вакансий в Ti, Zr и Fe неплохо описываются нашими ПДП. Поэтому их с достаточным основанием можно использовать для моделирования свойств вакационных комплексов и обедненных зон в данных металлах. В то же время для описания свойств межузельных атомов (МА) наши ПДП, по-видимому, непригодны. Так, оценки энергий миграции E_m^* с данными $\varphi(r)$ дают значения, вдвое меньшие наблюдавшихся. Это может быть связано с неучетом упомянутых выше эффектов сильного короткодействующего отталкивания, связанного с перекрытием d -оболочек, которые возникают при «первопринципных» подходах [4, 12]. Феноменологически их можно учесть, добавляя к нашим $\varphi(r)$ короткодействующее отталкивание, например борн-майеровское, которое будет проявляться только для МА, т. е. в конфигурациях с резким сближением атомов относительно средних расстояний. Но в данной работе мы не вводим таких поправок.

В связи со сказанным в обсуждаемых ниже приложениях [5–7] наши ПДП (для Fe) применялись только к задачам, связанным с вакансиями и вакационными комплексами. Для Cu мы использовали ПДП Дажана из [12]. При этом, поскольку в потенциалах Дажана для Cu и Ni названные эффекты отталкивания учитываются, их можно, видимо, применять также и для моделирования свойств МА [4, 12].

3. Применение псевдопотенциальных дальнодействующих потенциалов для моделирования структуры и эволюции вакационных кластеров

В этом разделе мы опишем наиболее важные результаты, полученные при применении ПДП к задачам о структуре вакационных кластеров [3, 4, 6, 8] и кинетике их зарождения в обедненных зонах (ОЗ), образующихся после прохождения каскада атомных столкновений [5, 7].

Расчеты энергий образования вакационных комплексов E_m^* , с использованием ЭКП показывают, что объемные комплексы (поры) энергетически выгоднее плоских конфигураций, вакационных петель (ВП) [39–41], что, видимо, расходится с экспериментами для чистых металлов [42, 43]. В работах [3, 5] показано, что при использовании ПДП это расхождение исчезает и плоские конфигурации оказываются выгоднее объемных. Так, в Cu [5] минимальную энергию образования имеет ВП Франка в плоскости {111}, что согласуется с экспериментами по изучению микроструктуры облученной меди [42]. Аналогичный вывод следует из расчетов E_m^* с использованием ПДП для Ni [8].

В результате скольжения сидячих дислокаций ВП треугольной формы в плоскости {111} в Cu превращаются в конфигурации тетраэдров из дефектов упаковки (ТДУ). Уже начиная с малых размеров ($N \geq 10$) энергия образования этих ТДУ оказывается меньшей, чем для исходной петли Франка [7, 8]. Этот вывод согласуется с опытом: в Cu при $t \approx 300$ °C, когда ВП Франка еще не растворяются и могут перестраиваться в треугольные конфигурации, наблюдаются только ТДУ [42, 44].

Использование ПДП в моделировании для α -Fe [5, 6] также показало, что ВП имеют меньшую энергию образования, чем поры, и лежат в плоскости {110}. Удалось выполнить моделирование реакций сдвига Эйра–Баллоу [45].

$$1/2\langle 110 \rangle + 1/2\langle 001 \rangle = 1/2\langle 111 \rangle, \quad 1/2\langle 110 \rangle + 1/2\langle \bar{1}\bar{1}0 \rangle = \langle 100 \rangle, \quad (6)$$

что ранее, при использовании ЭКП, сделать не удавалось [46]. При числе вакансий в ВП {110} $N \geq 50$ в α -Fe моделируются также атермическое снятие дефекта упаковки и образование совершенной петли с вектором Бюргерса $b = 1/2\langle 111 \rangle$. ВП с такими b обычно наблюдаются в облученных ОЦК металлах [43].

Применение ПДП к моделированию эволюции ОЗ [7] впервые позволило объяснить механизм атермического зарождения протяженных вакансационных кластеров в каскадах. При этом подтвердились основные положения модели [47] о том, что зарождение ВП или ТДУ объясняется диффузионной перестройкой ОЗ на тепловой стадии каскада. Сделан важный вывод о том, что тип зарождающегося кластера зависит не только от температуры среды, но и от средней концентрации вакансий c_v^* в ОЗ. Так, в Cu на тепловой стадии каскада эволюция ОЗ при $c_v^* \sim 0.1$ приводит к зарождению ВП Франка с $b=1/3\langle 111 \rangle$, а увеличение c_v^* до 0.15 вызывает зарождение ТДУ непосредственно в ОЗ. В α -Fe зарождение ВП в плоскости {110} происходит лишь для ОЗ с $c_v^* \geq 0.15$ и при существенно большей длительности тепловой стадии каскада. Сравнение кинетики зарождения ВП в Cu и α -Fe показывает, что при прочих равных условиях вероятность рождения ВП в α -Fe заметно ниже и они образуются только в достаточно крупных ОЗ с $N \geq 100$, в которых возможно возникновение больших вакансационных кластеров, диффузионная перестройка которых и приводит к рождению ВП. В случае же малых ОЗ вакансационные кластеры в α -Fe в петли не переходят и существуют в виде трехмерных «рыхлых» конфигураций. Эти результаты качественно объясняют эксперименты, показавшие малую эффективность зарождения ВП в α -Fe [43].

Отметим, что попытки моделирования эволюции ОЗ с использованием ЭКП успеха не имели [48]. По-видимому, это связано с тем, что коротко-действующие потенциалы неправильно описывают энергетику протяженных вакансационных кластеров в металлах, в то время как в ПДП эффекты дальнодействия, важные для данных проблем, описываются более реалистично.

Таким образом, имеющийся пока небольшой опыт применения ПДП в моделировании радиационных дефектов показывает, что в ряде случаев результаты отличаются от получаемых с ЭКП, лучше согласуются с экспериментами и позволяют микроскопически описать эффекты, не имевшие объяснения в моделях с ЭКП.

Авторы глубоко благодарны Н. Е. Зейну за многочисленные советы и помочь в работе.

Л и т е р а т у р а

- [1] Johnson R. A. // J. Phys. F. 1973. V. 3. N 2. P. 295—321.
- [2] Stoneham A. M., Taylor R. Handbook of Interatomic Potentials—Metals. AERE-R10205, Harwell, 1981.
- [3] Vasilyev A. A., Sirotinkin V. V., Melker A. I. // Phys. St. Sol. (b). 1985, V. 131. N 2. P. 537—544.
- [4] Lam N. Q., Dagens L. // J. Phys. F. 1986. V. 16. N 10. P. 1373—1384.
- [5] Капинос В. Г., Осецкий Ю. Н., Платонов П. А. // ФТТ. 1986. Т. 28. № 12. С. 3603—3609.
- [6] Капинос В. Г., Осецкий Ю. Н., Платонов П. А. // Препринт ИАЭ-4534/11. М., 1987.
- [7] Капинос В. Г., Осецкий Ю. Н., Платонов П. А. // ФММ. 1988. Т. 66. № 2. С. 264.
- [8] Sabochick M. J., Yip S., Lam N. Q. // J. Phys. F. 1988. V. 18. N 3. P. 349—361.
- [9] Bratkovsky A. M., Vaks V. G., Kravchuk S. P., Trefilov A. V. // J. Phys. F. 1982. V. 12. N 12. P. 1293—1310.
- [10] Братковский А. М., Вакс В. Г., Трефилов А. В. // ЖЭТФ. 1984. Т. 86. № 6. С. 2112—2130.
- [11] Dagens L. // J. Phys. F. 1977. V. 7. N 7. P. 2517—2542.
- [12] Lam N. Q., Dagens L., Doan N. V. // J. Phys. F. 1983. V. 13. N 12. P. 2503—2516.
- [13] Moriarty J. A. // Phys. Rev. B. 1982. V. 26. N 4. P. 1754—1780.
- [14] Юрьев А. А., Ватолин Н. А. // Изв. АН СССР, металлы. 1984. № 5. С. 44—50.
- [15] Moriarty J. A. // Phys. Rev. Lett. 1984. N 5. P. 44—50.
- [16] Duesbery M. S., Jacucci G., Taylor R. // J. Phys. F. 1979. V. 9. N 3. P. 413—424.
- [17] Капинос В. Г., Осецкий Ю. Н. // Препринт ИАЭ-4576/11. М., 1986.
- [18] Бровман Е. Г., Каган Ю. М. // УФН. 1974. Т. 112. № 3. С. 369—426.
- [19] Gschneidner K. A. // Sol. St. Phys. 1964. V. 16. P. 275—382.
- [20] McCammon R. D., White G. K. // Philos. Mag. 1965. V. 11. N 114. P. 1125—1134.
- [21] Ducastelle F. // J. de Phys. 1970. V. 31. N 11—12. P. 1055—1062.
- [22] Клименков Е. А., Спектор Е. З., Базин Ю. А., Веселова С. И., Баум Б. А. // ФММ. 1976. Т. 42. № 6. С. 1317—1319.
- [23] Vahvaselka K. S. // Phys. Scripta. 1981. V. 24. N 1. P. 59—64.

- [24] Nicklow R. M., Jilat G., Smith H. R., Raubenheimer L. J., Wilkinson M. K. // Phys. Rev. 1967. V. 1164. N 3. P. 922—928.
- [25] Stassis C., Arch D., Harmon B. N., Wakabayashi N. // Phys. Rev. B. 1979. V. 19. N 1. P. 181—188.
- [26] Stassis C., Zaretsky T., Aarch D., McMasters O. D., Harmon B. N. // Phys. Rev. B. 1978. V. 18. N 6. P. 2632—2642.
- [27] Pindor A., Pynn K. // J. Phys. C. 1969. V. 2. N 6. P. 1037—1050.
- [28] Бровман Е. Г., Караган Ю. М., Холас А. // ЖЭТФ. 1971. Т. 61. № 8. С. 737—751.
- [29] Немошканенко В. В., Мильман В. Ю., Жалко-Титаренко А. В., Антонов В. Н. // УФЖ. 1985. Т. 30. № 9. С. 1372—1381.
- [30] Minchin P., Meyer A., Yong W. H. // J. Phys. F. 1974. V. 4. N 12. P. 2117—2125.
- [31] Fletcher R., Reeves C. M. // Computer J. 1964. V. 7. P. 149—154.
- [32] Horak J. A., Blewitt T. H., Fine M. E. // J. Appl. Phys. 1968. V. 39. P. 326—337.
- [33] Орлов А. Н., Трушин Ю. В. Энергия точечных дефектов в металлах. М.: Энергоатомиздат, 1983. С. 81.
- [34] Swanson M. S., Piercy G. B., Kidson G. V., Quenneville A. F. // J. Nucl. Mater. 1970. V. 34. P. 340—347.
- [35] Schumacher D. // Vacancies and Interstitials in Metals. North-Holland, Amsterdam, 1969. P. 889—931.
- [36] Смирнов Е. А., Осецкий Ю. Н., Михин А. Г. // Конструкционные материалы в атомной технике. М.: Энергоатомиздат, 1987. С. 25—34.
- [37] Okaraki K., Masuda I. // Proo. IV Intern. Conf. on Ti, Kyoto, Japan, 1980. P. 623—631.
- [38] Beeler J. R., Johnson R. A. // Phys. Rev. 1967. V. 156. N 3. P. 677—684.
- [39] Johnson R. A. // Philos. Mag. 1967. V. 16. P. 553—564.
- [40] Siegel R. W. // Point Defect Interactions in Metals / Ed. Tokamura J. et al. Tokyo: Univ. Press, 1982. P. 593—597.
- [41] Savino E. J., Perrin R. C. // J. Phys. F. 1974. V. 4. N 11. P. 1889—1897.
- [42] English C. A. // J. Nucl. Mater. 1987. V. 108—109. P. 104—123.
- [43] Kirk M. A., Robertson I. M., Jenkins M. L., English C. A., Black T. J. // J. Nucl. Mater. 1987. V. 149. N 1. P. 21—28.
- [44] English C. A., Eyre B. L. // Philos. Mag. 1976. V. 34. N 4. P. 603—614.
- [45] Eyre B. L., Bullough R. // Philos. Mag. 1965. V. 12. N 1. P. 31—48.
- [46] Matthai C. C., Bacon D. J. // J. Nucl. Mater. 1984. V. 125. P. 138—151.
- [47] Kapinos V. G., Platonov P. A. // Rad. Effects. 1987. V. 103. N 1. P. 45—57.
- [48] Matthai C. C., Bacon D. J. // J. Nucl. Mater. 1985. V. 135. N 2. P. 173—180.

Поступило в Редакцию
5 сентября 1988 г.